

# Freie-Elektronen-Laser

---

## Teil 3: High-Gain FEL

1. Wiederholung: Undulator, Pendelgleichung und LG-FEL
2. Feldänderungen
3. 1D-WW mit Strahlungsfeld
4. 1D gekoppelte DGL
5. Normierte Skalenparameter
6. HG-FEL Kenngrößen
7. Seeding

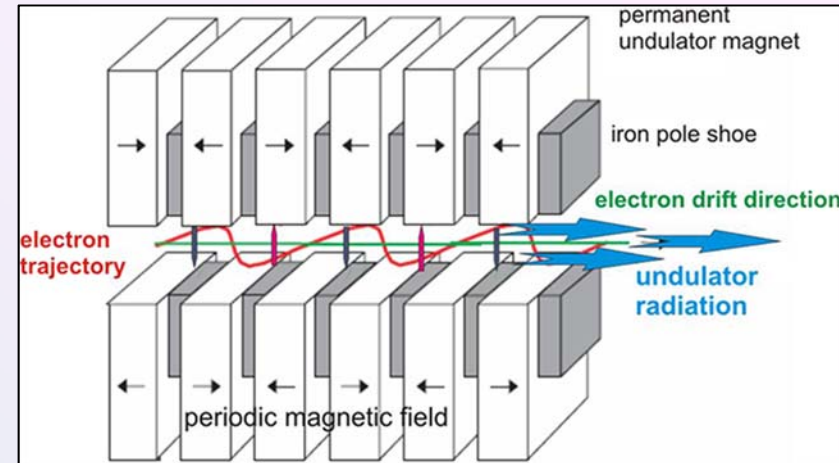
# Spont. Undulatorstrahlung

## Teilchenbewegung im Undulator:

$$x(t) = \frac{K}{\gamma k_u} \cdot \sin(\omega_u t)$$

$$s(t) = \bar{\beta} c t - \frac{K^2}{8\gamma^2 k_u} \cdot \sin(2\omega_u t)$$

$$\bar{\beta} = 1 - \frac{1}{2\gamma^2} \left\{ 1 + \frac{K^2}{2} \right\}$$

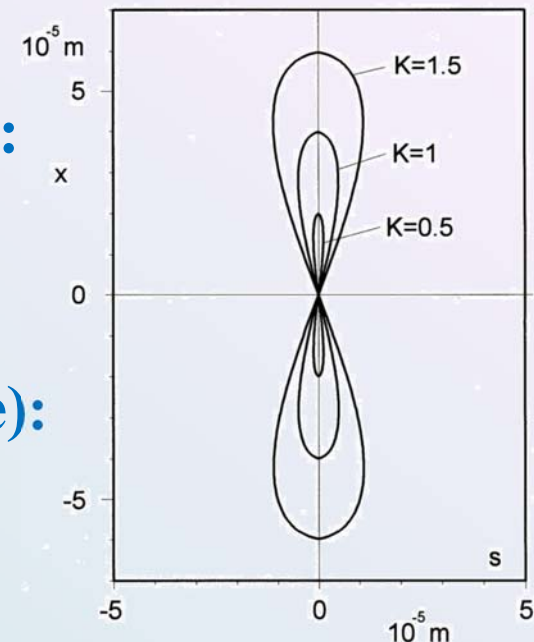


## Kohärenzbedingung in Vorwärtsrichtung:

$$\lambda = \frac{1}{2\gamma^2} \left( 1 + \frac{K^2}{2} \right) \cdot \lambda_U$$

## Strahlungsleistung per e<sup>-</sup> (1. Harmonische):

$$P = \frac{e^2 c \gamma^2 K^2 k_u^2}{12\pi\epsilon_0 \left( 1 + K^2/2 \right)^2}$$



# WW mit konst. Strahlungsfeld

## Energieübertrag:

$$\frac{dW}{dt} = -e \frac{K_{JJ} \cdot c}{2\gamma} E_0 \left\{ \underbrace{\cos \Psi}_{\approx \text{konst.}} + \underbrace{\cos \chi}_{=\cos(\Psi - 2k_u z)} \right\}$$

## Kenngrößen:

$$\eta = \frac{\gamma - \gamma_r}{\gamma_r}, \quad \gamma_r = \sqrt{\frac{k}{2k_u} \left( 1 + \frac{K^2}{2} \right)}$$

$$\theta = \Psi + \frac{\pi}{2} = (k + k_u)z - \omega t + \frac{\pi}{2}$$

## Pendelgleichungen:

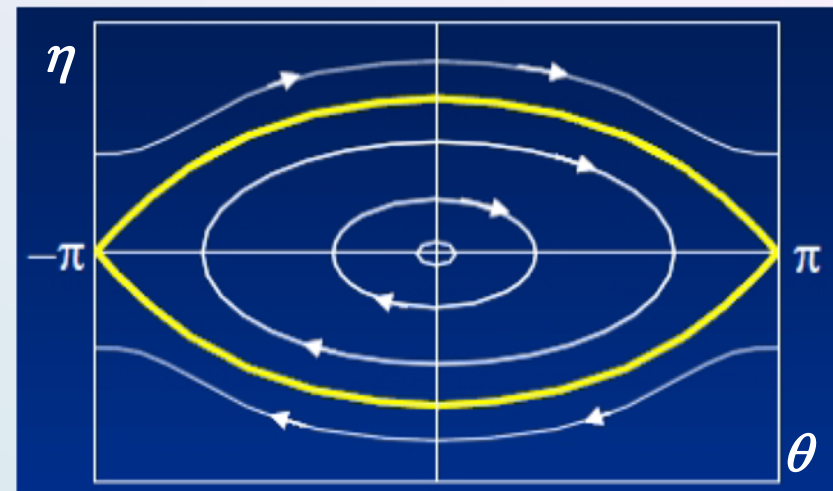
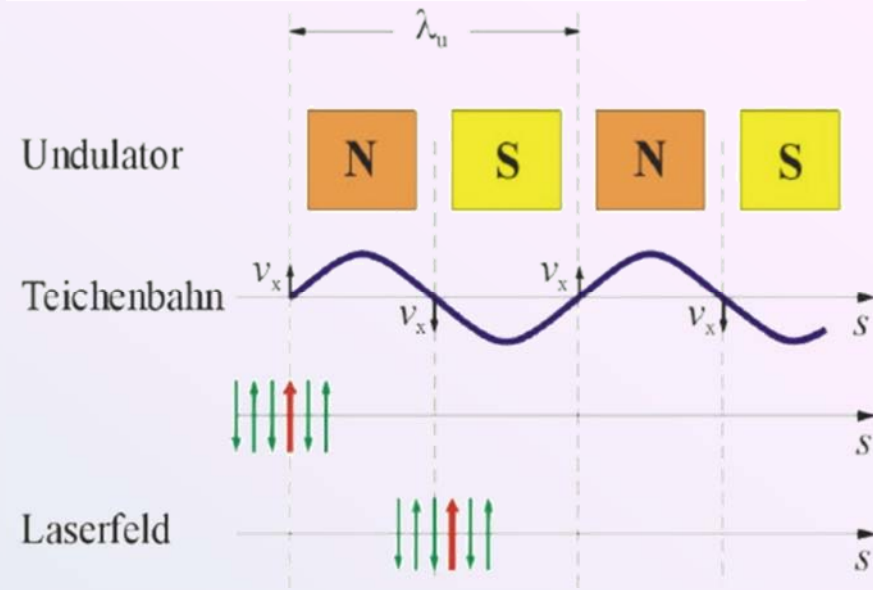
$$\frac{d\eta}{dz} = -\varepsilon \sin \theta$$

mit

$$\varepsilon = \frac{eE_0 K_{JJ}}{2mc^2 \gamma_r^2}$$

$$\frac{d\theta}{dz} = 2k_u \eta$$

$$\eta_{\max} = \sqrt{\frac{2\varepsilon}{k_u}}$$

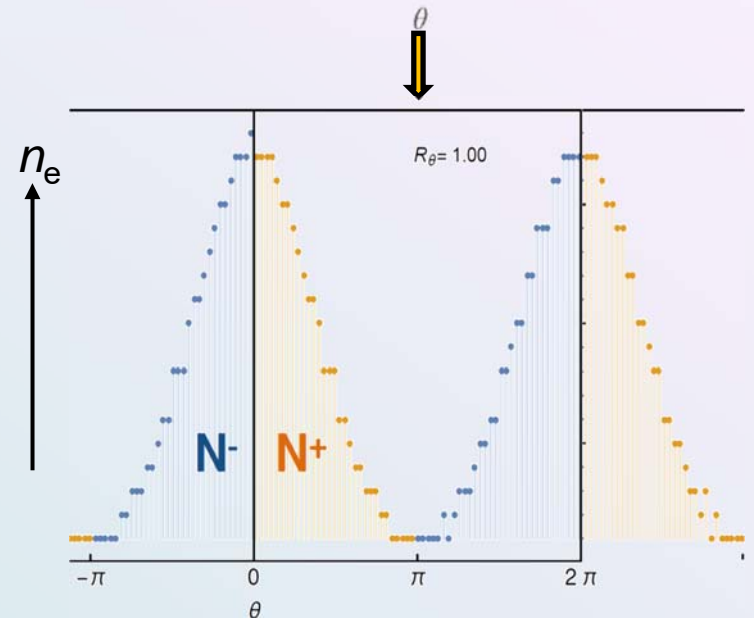
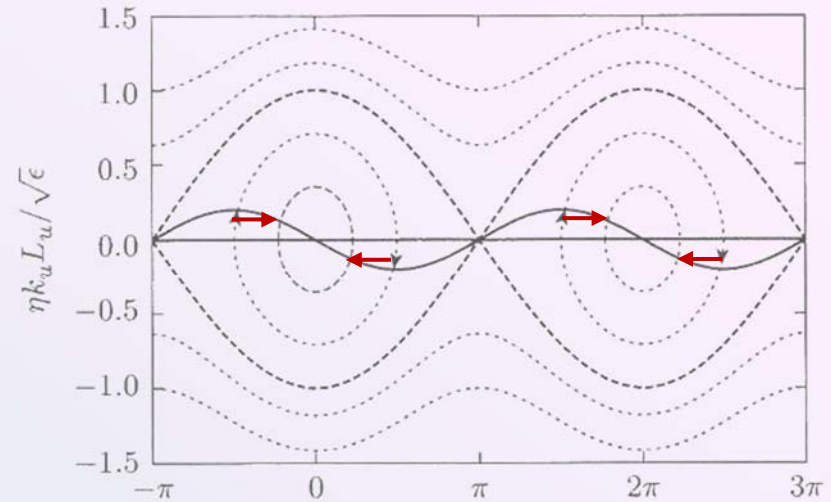
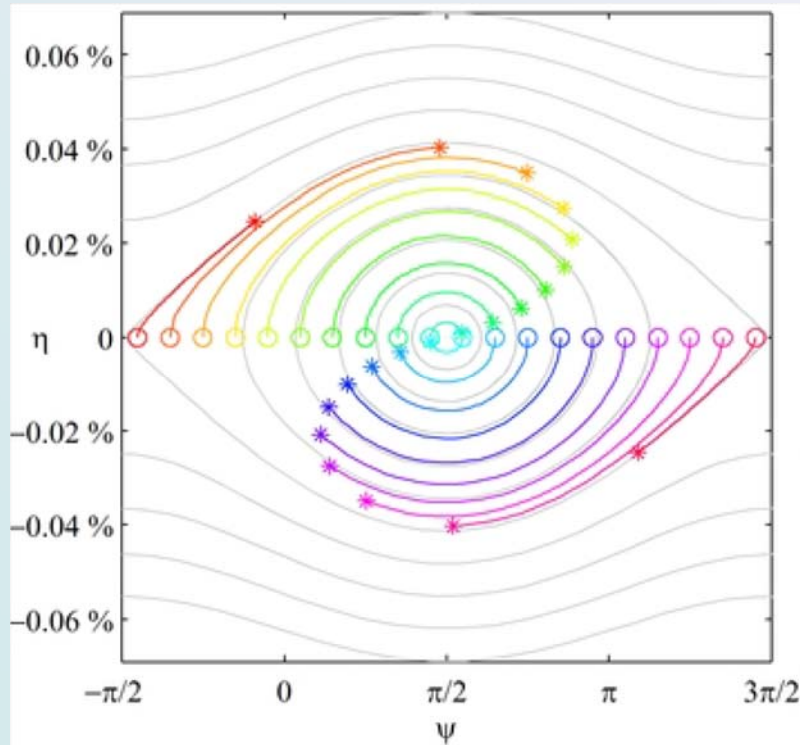


# Modulation von $E$ und $n_e$

## Einschuss auf Resonanzenergie:

- Energiemodulation
  - Dichtemodulation

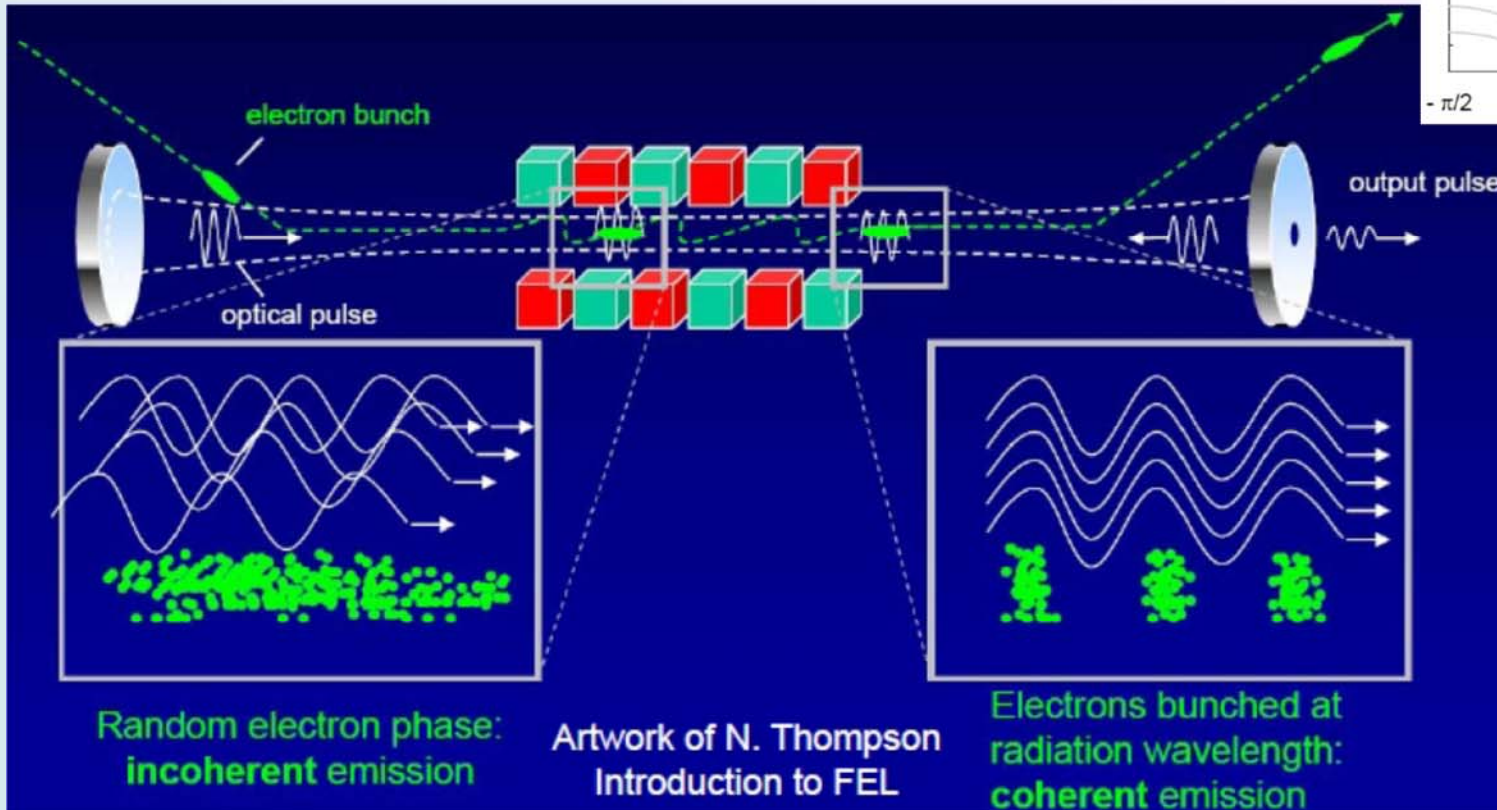
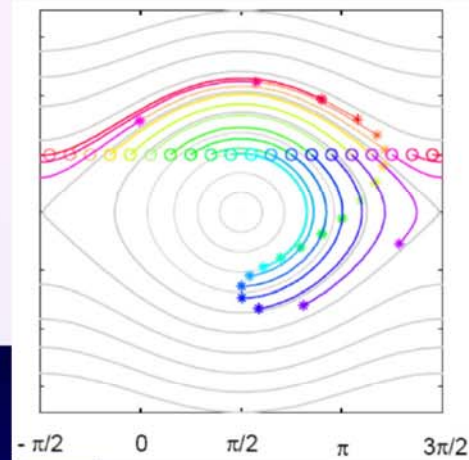
**Kein Energietransfer!**



# Kleinsignalbereich

## Einschuss oberhalb Resonanzenergie:

- Energiemodulation
  - Dichtemodulation
  - Energietransfer



# Multi-Pass

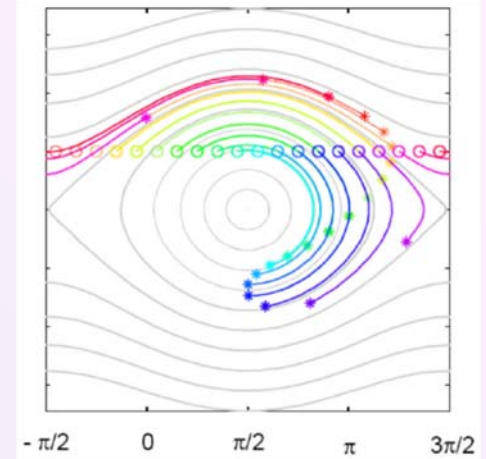
## Einschuss oberhalb Resonanzenergie:

- Energiemodulation
  - Dichtemodulation
  - Energietransfer

**Verstärkung → Sättigung!**

2. Ordnung  
Störungs-  
entwicklung in

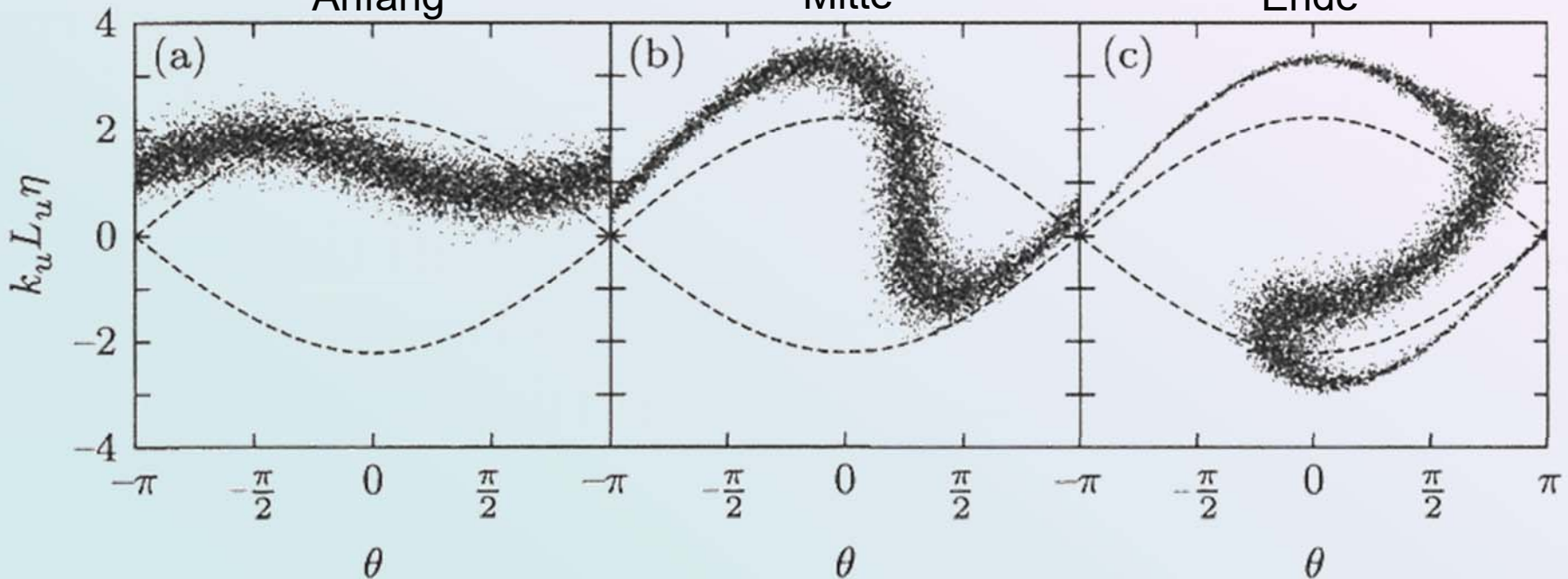
$$\varepsilon = \frac{eE_0 K_{JJ}}{2mc^2 \gamma_r^2}$$



Anfang

Mitte

Ende



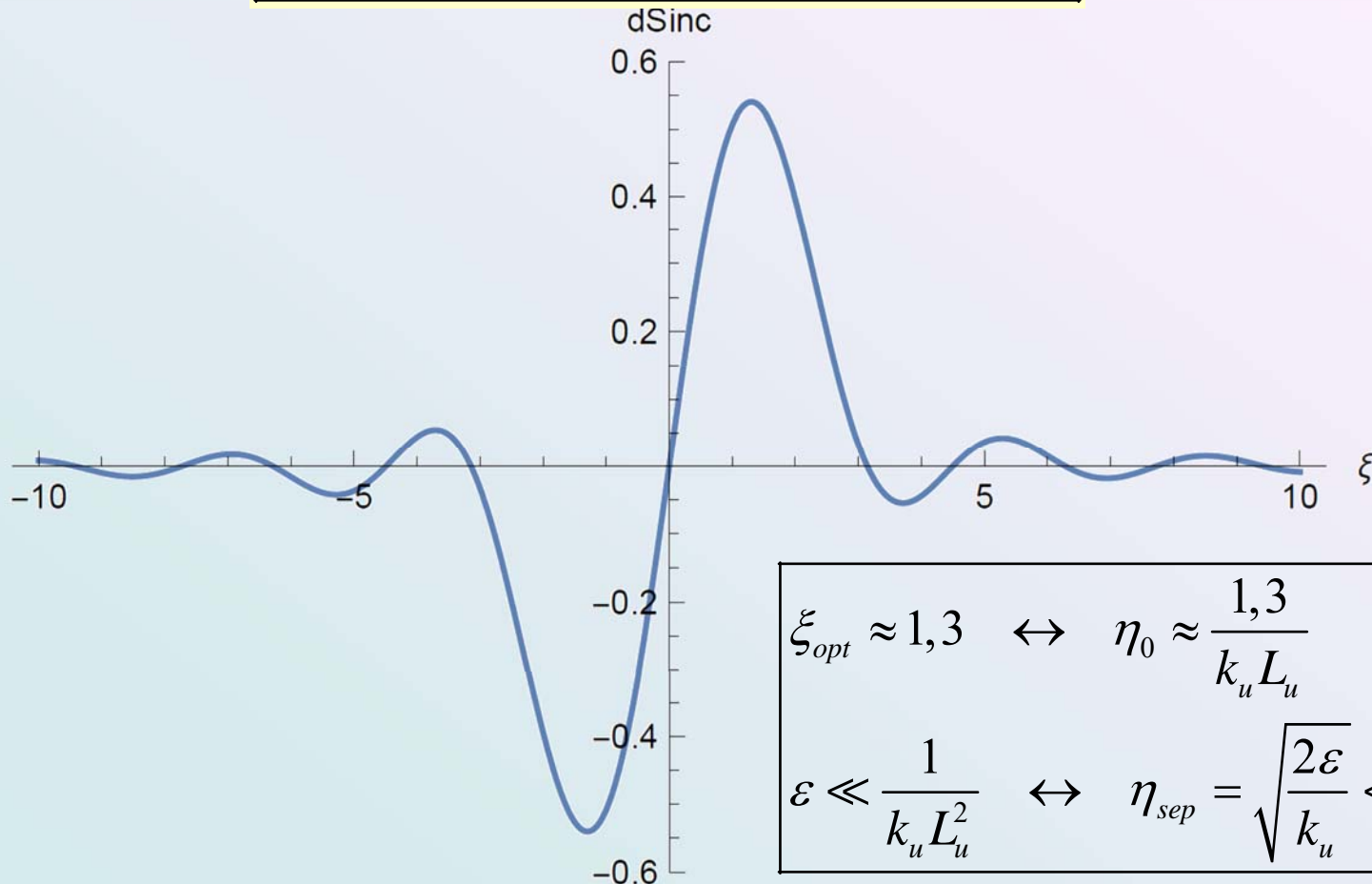
# Madey-Theorem

➤ Verstärkungskurve ~ Ableitung des „Spektrums“ der spontanen Strahlung

$$\frac{\Delta\omega}{\omega_r} = \frac{\xi_0}{\pi N_u}$$

$$G = \frac{\pi K_{JJ}^2 N_u^2 I_{\text{beam}}}{2 \gamma_r^3 I_{\text{Alfvén}}} \left( \frac{\lambda_u}{\sigma_r} \right)^2 \frac{\partial}{\partial \xi} \left( \frac{\sin|\xi|}{\xi} \right)^2$$

$$\xi = k_u L_u \eta$$



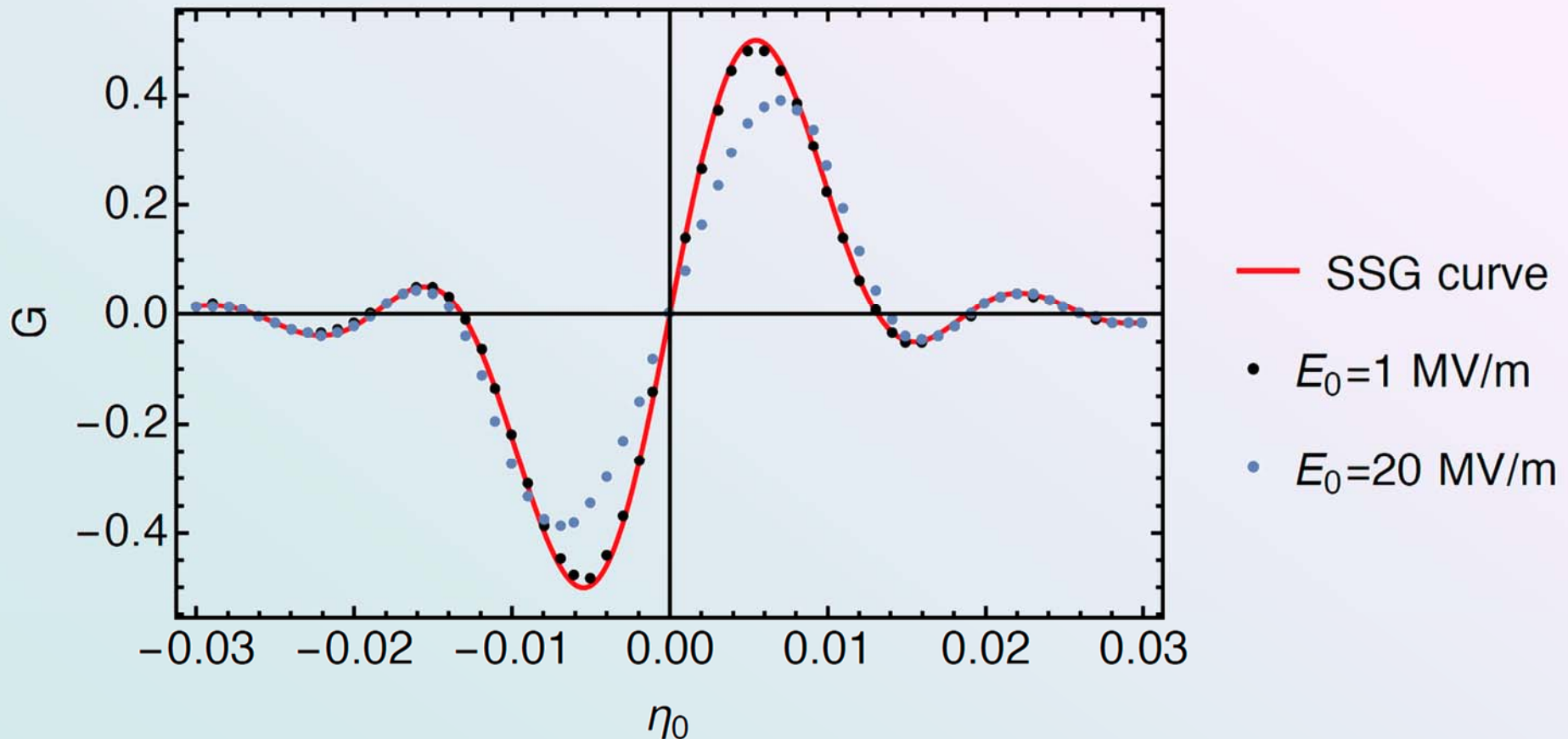
$$\xi_{opt} \approx 1,3 \quad \leftrightarrow \quad \eta_0 \approx \frac{1,3}{k_u L_u}$$

$$\varepsilon \ll \frac{1}{k_u L_u^2} \quad \leftrightarrow \quad \eta_{sep} = \sqrt{\frac{2\varepsilon}{k_u}} \ll \frac{\sqrt{2}}{k_u L_u}$$

# Verstärkungskurve

Verstärkungskurve  $\leftrightarrow$  Madey-Theorem:

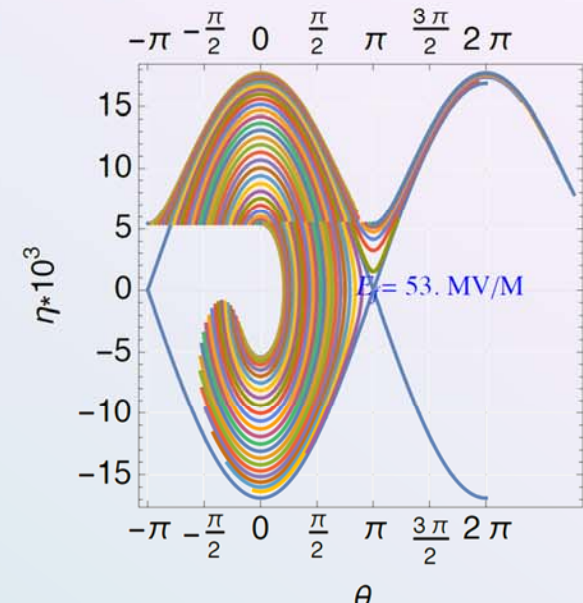
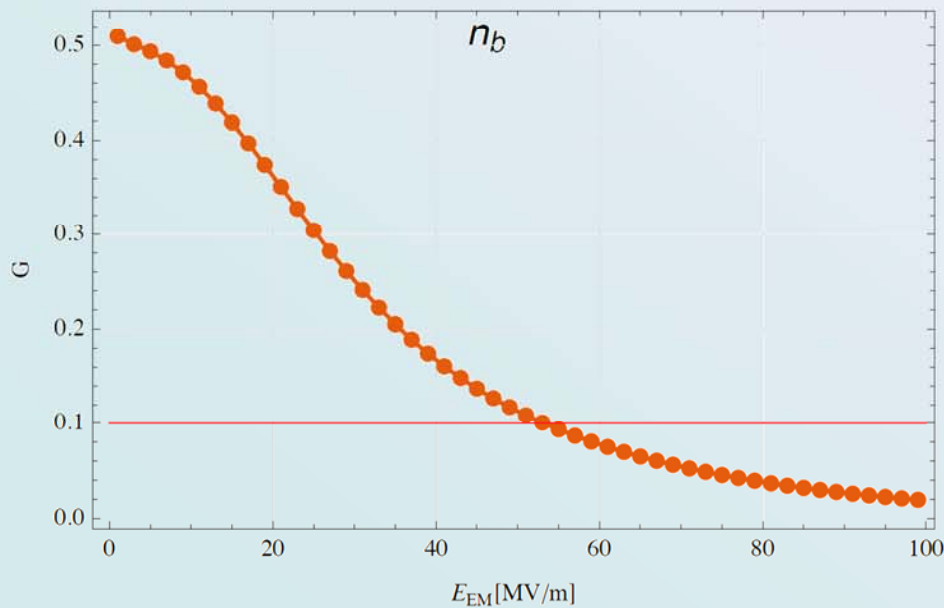
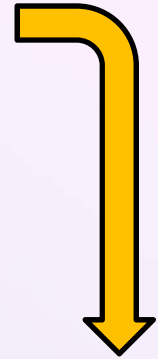
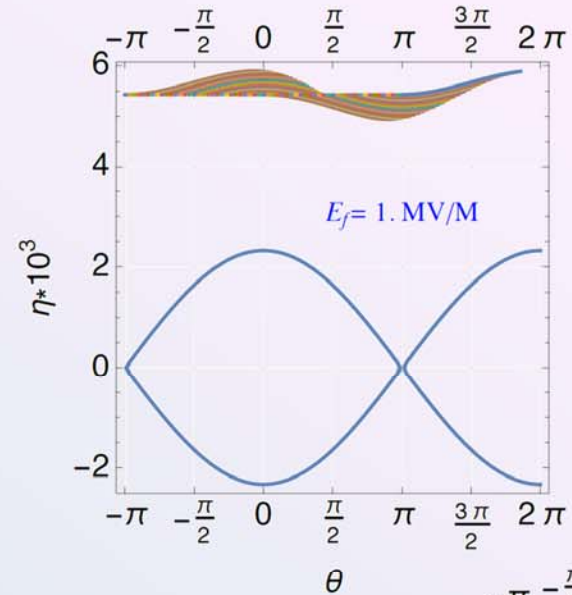
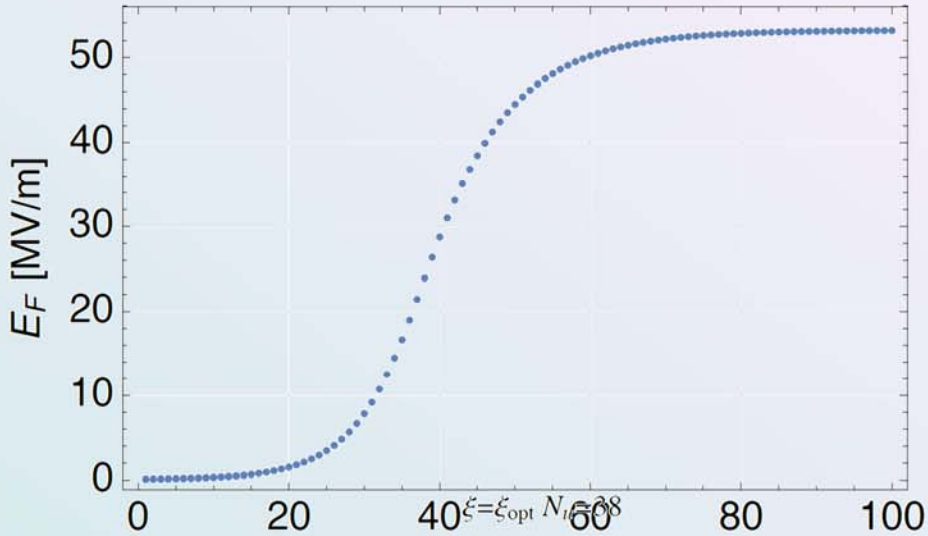
„Abweichung bei starken Strahlungsfeldern“





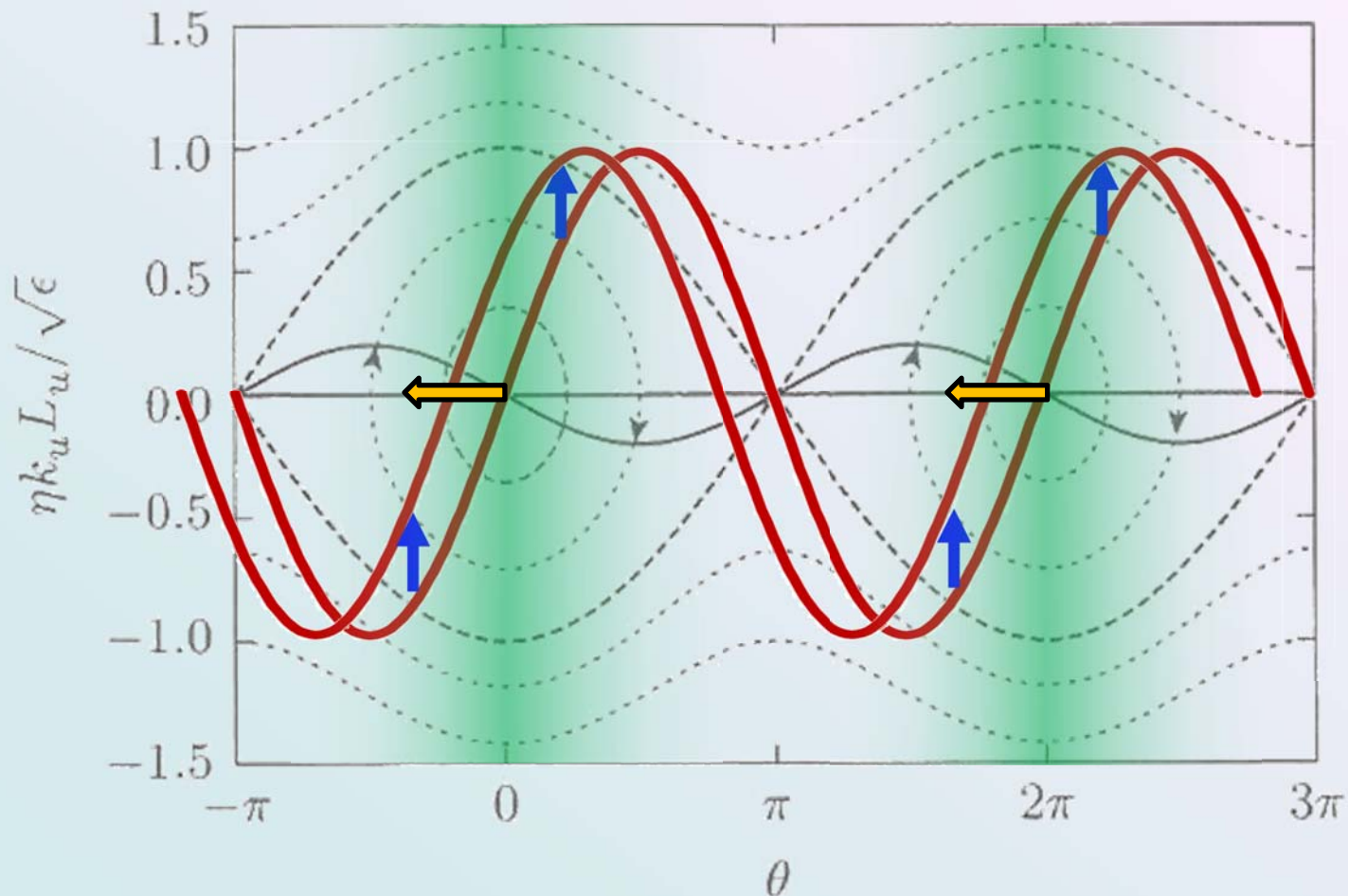
# Sättigung

## Verstärkung deckt Resonatorverluste



# Feldänderungen

**Einschuss auf Resonanzenergie**  
**Überlagerung mit externem Strahlungsfeld**



# Feldänderungen in 1D-Näherung

Langsame Änderung von **Amplitude** und **Phase**:

$$E_x(s, t) = \hat{E}_s(s, t) \cdot \cos(ks - \omega t + \phi_s(s, t))$$

Genauere Betrachtung mit komplexem Ansatz

$$E_x(s, t) = \tilde{E}(s, t) \cdot e^{i(ks - \omega t)} + \tilde{E}^*(s, t) \cdot e^{-i(ks - \omega t)}$$

$$\rightarrow \tilde{E}(s, t) = \frac{1}{2} \hat{E}_s(s, t) \cdot e^{i\phi_s(s, t)}$$

Wellengleichung verknüpft Feld und Elektronenfluss durch Undulator:

$$\square \vec{E} = \partial^\mu \cdot \partial_\mu \vec{E} = -\mu_0 \frac{\partial j_x}{\partial t} - \frac{1}{\epsilon_0} \vec{\nabla} \rho$$

1-dim

$$\partial_+ \cdot \partial_- E_x = \frac{1}{c^2} \frac{\partial^2 E_x}{\partial t^2} - \frac{\partial^2 E_x}{\partial s^2} = -\frac{1}{\epsilon_0 c^2} \frac{\partial j_x}{\partial t}$$

hier:

$$\partial_+ \cdot \partial_- \left( \tilde{E} \cdot e^{i(ks - \omega t)} + \tilde{E}^* \cdot e^{-i(ks - \omega t)} \right) = 2ik \cdot (\partial_+ \tilde{E}) \cdot e^{i(ks - \omega t)} + 2ik \cdot (\partial_+ \tilde{E}^*) \cdot e^{-i(ks - \omega t)}$$

# Feldänderungen in 1D-Näherung

$$2ik \cdot (\partial_+ \tilde{E}) + 2ik \cdot (\partial_+ \tilde{E}^*) \cdot e^{-2i(ks-\omega t)} = -\frac{1}{\epsilon_0 c^2} \frac{\partial j_x}{\partial t} \cdot e^{-i(ks-\omega t)}$$

Langsame Änderung  $\leftrightarrow$  Mittelung über einige Perioden:  $\Delta t = 2n\pi/\omega$

$$-2ik(\partial_+ \tilde{E}) = \frac{1}{\epsilon_0 c^2} \frac{1}{\Delta t} \int_{-\Delta t/2}^{+\Delta t/2} \underbrace{\frac{\partial j_x}{\partial t}}_{u'} \cdot \underbrace{e^{i(ks-\omega t)}}_v dt = \frac{i\omega}{\epsilon_0 c^2} \frac{1}{\Delta t} \int_{-\Delta t/2}^{+\Delta t/2} \underbrace{j_x}_u \cdot \underbrace{e^{i(ks-\omega t)}}_{v'/i\omega} dt$$

Stromdichte gebildet von einzelnen Elektronen (an Positionen  $s_j$ ):

$$j_x = \frac{-e}{2\pi\sigma_x^2} \frac{cK}{\gamma_r} \cos(k_u s) \sum_{j=1}^{N_\Delta} \delta(s - s_j(t)) \Rightarrow \int dt \rightarrow \frac{1}{c} \text{Integrand}(t_j(s))$$

**Übergang zu Mittelwerten**  $\rightarrow$  formales Ersetzen  $\sum_{j=1}^{N_\Delta} \dots \rightarrow \frac{1}{N_\Delta} \langle \dots \rangle$

mit  $N_\Delta = n_e (2\pi\sigma_x^2) (c\Delta t)$  und

$$ks = \theta_j(s) - k_u s + \omega \bar{t}_j(s) \quad \text{und} \quad t_j(s) = \bar{t}_j(s) + \frac{K^2}{4\omega(1 + K^2/2)} \sin(2k_u s)$$

# Feldänderungen in 1D Näherung

Formale Entwicklung in Besselfunktionen

$$\begin{aligned}\cos(k_u s) \cdot e^{-i(ks - \omega t_j)} &= e^{-i\theta_j} \sum_{n=1}^{\infty} J_n \left( \frac{K^2}{4(1 + K^2/2)} \right) \frac{1}{2} \left( e^{2i(n+1)k_u s} + e^{2ink_u s} \right) \\ &= e^{-i\theta_j} \frac{1}{2} \left\{ J_0 \left( \frac{K^2}{4(1 + K^2/2)} \right) - J_1 \left( \frac{K^2}{4(1 + K^2/2)} \right) \right\} = \frac{1}{2} e^{-i\theta_j} [JJ]\end{aligned}$$

ergibt schlussendlich

$$\partial_+ \tilde{E} = -\frac{eK_{JJ}}{4\varepsilon_0\gamma_r} n_e \langle e^{-i\theta_j} \rangle \quad \text{mit} \quad K_{JJ} = K [JJ]$$

Letzter Schritt:

$$\partial_+ \tilde{E} = \frac{\partial \tilde{E}(s, t)}{\partial s} + \frac{1}{c} \frac{\partial \tilde{E}(s, t)}{\partial t} = \frac{\partial \tilde{E}(s, \theta)}{\partial s} + \underbrace{k_u \frac{\partial \tilde{E}(s, \theta)}{\partial \theta}}_{\approx 0} \approx \frac{d\tilde{E}(s, \theta)}{ds}$$

# Gekoppelte 1D-Gleichungen

→ Erweiterung der Pendelgleichungen zu folgendem gekoppeltem Differentialgleichungssystem:

$$\begin{aligned} \frac{d\tilde{E}}{ds} &= -\kappa_2 n_e \langle e^{-i\theta_j} \rangle && \text{mit Bunchingfaktor} && b = \langle e^{-i\theta_j} \rangle \\ \frac{d\theta_j}{ds} &= 2k_u \eta_j && \text{mit ponderomotiven Phasen} && \theta_j \\ \frac{d\eta_j}{ds} &= \kappa_1 \left( \tilde{E} \cdot e^{i\theta_j} + \tilde{E}^* \cdot e^{-i\theta_j} \right) && \text{mit rel. Energieverschiebungen} && \eta_j \end{aligned}$$

## Gemachte Annahmen:

- eindimensionale Betrachtung
- langsam veränderliche Feldamplitude und -phase
- Beschränkung auf die fundamentale Harmonische
- keine Raumladungseffekte (sind klein)

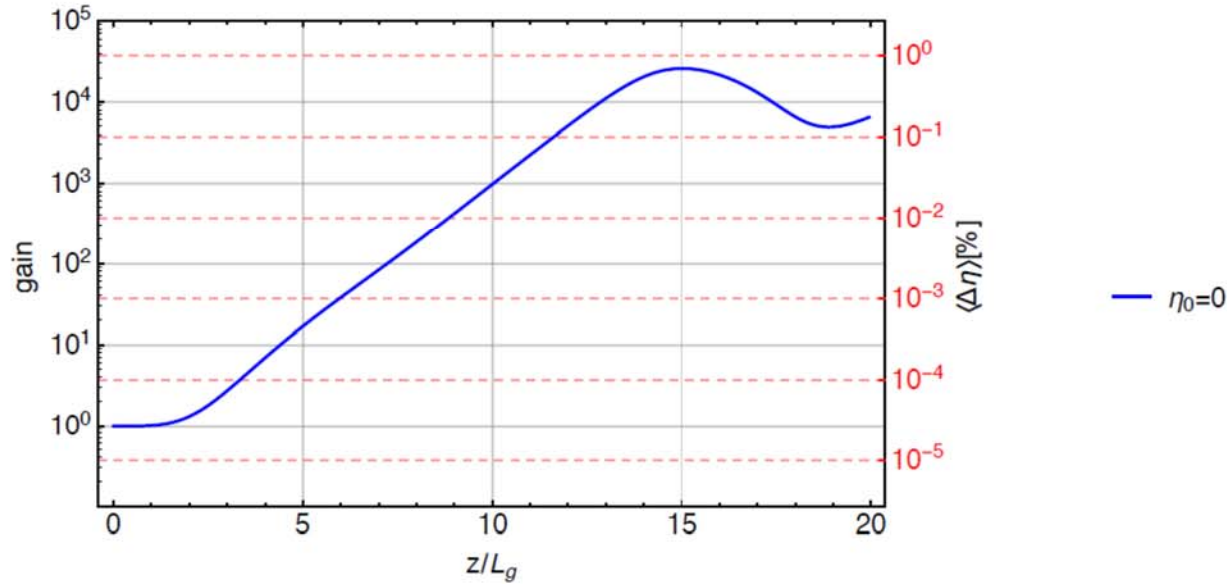
Abkürzungen:

$$\kappa_1 = \frac{eK_{JJ}}{2\gamma_r^2 mc^2}$$

$$\kappa_2 = \frac{eK_{JJ}}{4\epsilon_0 \gamma_r}$$

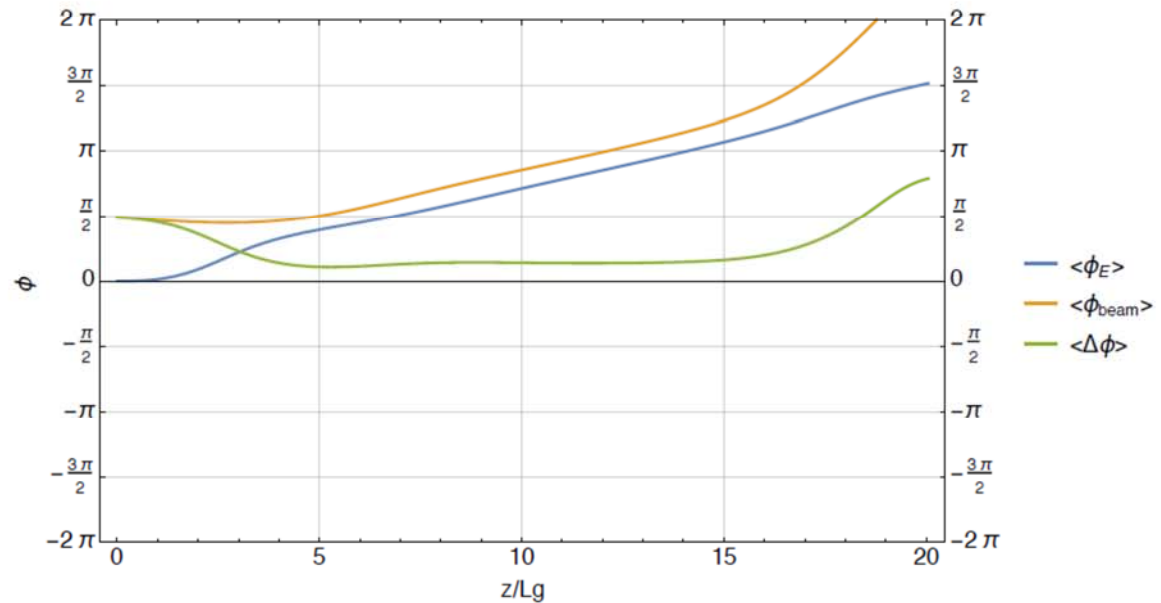
$$\eta_0 = 0 !$$

no gain without  
phase change of E



no initial phase change due to off-resonance beam

field phase changes !



# Normierte Parameter

Vertieftes Verständnis der DGL durch Definition von normierten „Skalenparametern“:

longitudinale Koordinate:	$\hat{s} = 2k_u \rho s$	$\frac{d\theta_j}{d\hat{s}} = \hat{\eta}_j$
rel. Energieabweichung:	$\hat{\eta} = \frac{\eta}{\rho}$	$\Rightarrow \frac{d\hat{\eta}_j}{d\hat{s}} = a e^{i\theta_j} + a^* e^{-i\theta_j}$
Feldamplitude:	$a = \frac{\kappa_1}{2k_u \rho^2} \tilde{E}$	$\frac{da}{d\hat{s}} = -\frac{\kappa_1 \kappa_2 n_e}{4k_u^2 \rho^3} \langle e^{-i\theta_j} \rangle = -\langle e^{-i\theta_j} \rangle$
Pierce-Parameter:	$\rho = \sqrt[3]{\frac{\kappa_1 \kappa_2 n_e}{4k_u^2}} = \sqrt[3]{\frac{1}{8\pi} \left( \frac{I_{\text{beam}}}{I_{\text{Alfvén}}} \right) \left( \frac{K_{JJ}}{1 + K^2/2} \right)^2 \left( \frac{\gamma \lambda^2}{2\pi \sigma_x^2} \right)}$	

Die gekoppelten Gleichungen vereinfachen sich damit zu:

$$\frac{da}{d\hat{s}} = -\langle e^{-i\theta_j} \rangle = -b, \quad \frac{db}{d\hat{s}} = -i \langle \eta_j \cdot e^{-i\theta_j} \rangle = -iP, \quad \frac{dP}{d\hat{s}} = a + a^* \langle e^{2i\theta_j} \rangle - i \langle \eta_j^2 e^{i\theta_j} \rangle$$



# Kubische Differentialgleichung

Kombination zur Differentialgleichung 3. Ordnung:

$$\frac{d^3 a}{d\hat{s}^3} = ia \quad \text{mit Ansatz} \quad a = C \cdot e^{-i\mu\hat{s}} \quad \rightarrow \quad \mu^3 = 1$$

mit den 3 Lösungen des charakteristischen Polynoms

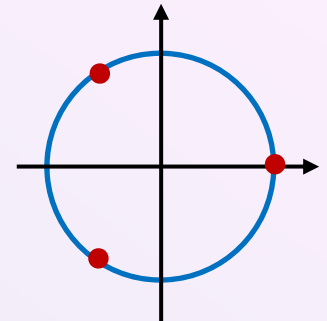
$$\mu_1 = 1, \quad \mu_2 = -\frac{1}{2}(1 + i\sqrt{3}), \quad \mu_3 = -\frac{1}{2}(1 - i\sqrt{3})$$

und der **allgemeinen Lösung**

$$a(\hat{s}) = C_1 e^{-i\hat{s}} + C_2 e^{\frac{1}{2}(i-\sqrt{3})\hat{s}} + C_3 e^{\frac{1}{2}(i+\sqrt{3})\hat{s}}$$

mit den Randbedingungen:

- **normierte Feldamplitude**  $a(0) = \sum C_i$
- **Bunching-Faktor**  $b(0) = -\left. \frac{da}{d\hat{z}} \right|_0 = i \sum \mu_i C_i$
- **Kollektiv-Impuls**  $P(0) = i \left. \frac{db}{d\hat{z}} \right|_0 = i \sum \mu_i^2 C_i$



**exp. Wachstum**

# Kubische Differentialgleichung

---

Randwertbestimmung durch Gleichungssystem

$$\begin{pmatrix} a_0 \\ b_0 \\ P_0 \end{pmatrix} = \mathbf{M}_\mu \cdot \begin{pmatrix} C_1 \\ C_2 \\ C_3 \end{pmatrix} = \begin{pmatrix} 1 & 1 & 1 \\ i\mu_1 & i\mu_2 & i\mu_3 \\ i\mu_1^2 & i\mu_2^2 & i\mu_3^2 \end{pmatrix} \cdot \begin{pmatrix} C_1 \\ C_2 \\ C_3 \end{pmatrix}$$

Lösung durch Matrixinversion ergibt **Randwertgleichungen**:

$$\begin{pmatrix} C_1 \\ C_2 \\ C_3 \end{pmatrix} = \mathbf{M}_\mu^{-1} \cdot \begin{pmatrix} a_0 \\ b_0 \\ P_0 \end{pmatrix} = \begin{pmatrix} \frac{1}{3} & -\frac{i}{3} & -\frac{i}{3} \\ \frac{1}{3} & \frac{1}{6}(i + \sqrt{3}) & \frac{1}{3}(-1)^{5/6} \\ \frac{1}{3} & \frac{1}{6}(i - \sqrt{3}) & \frac{1}{3}(-1)^{5/6} \end{pmatrix} \cdot \begin{pmatrix} a_0 \\ b_0 \\ P_0 \end{pmatrix}$$

Einbeziehung einer anfänglichen Energieverschiebung  $\hat{\eta}_0 = \eta_0 / \rho$ :

$$P(\hat{s}) \rightarrow \langle \hat{\eta}_j e^{-i\theta_j} \rangle + \hat{\eta}_0 \quad \rightarrow \quad \mu^3 - 2\hat{\eta}_0 \mu^2 + \hat{\eta}_0^2 \mu - 1 = 0$$

# Kubische Differentialgleichung

## Fall 1: Anregung durch existierendes Strahlungsfeld

Anfangsbedingungen:

- keine Dichtemodulation  $\rightarrow b_0 = 0$
- kein Energieoffset und -modulation  $\rightarrow \eta_0 = 0 \rightarrow P_0 = 0$
- Einlaufendes Strahlungsfeld  $\rightarrow a_0 > 0$

$$\Rightarrow C_1 = C_2 = C_3 = \frac{1}{3}a_0$$

**Feldamplitude:**

$$a(\hat{s}) = \frac{a_0}{3} \left\{ e^{-i\hat{s}} + e^{\frac{1}{2}(i-\sqrt{3})\hat{s}} + e^{\frac{1}{2}(i+\sqrt{3})\hat{s}} \right\}$$

**Verstärkung:**

$$G(\hat{s}) = \frac{|a|^2}{a_0^2} = \frac{1}{9} \left\{ 3 + e^{-\sqrt{3}\hat{s}} + e^{\sqrt{3}\hat{s}} + 2 \cos\left(\frac{3}{2}\hat{s}\right) \cdot \left[ e^{-\frac{\sqrt{3}}{2}\hat{s}} + e^{\frac{\sqrt{3}}{2}\hat{s}} \right] \right\}$$

# Kubische Differentialgleichung

## Fall 1: Anregung durch existierendes Strahlungsfeld

Universelle Verstärkungskurve:

$$G(\hat{s}) = \frac{|a|^2}{a_0^2} = \frac{1}{9} \left\{ 3 + e^{-\sqrt{3}\hat{s}} + e^{\sqrt{3}\hat{s}} + 4 \cos\left(\frac{3}{2}\hat{s}\right) \cosh\left(\frac{\sqrt{3}}{2}\hat{s}\right) \right\}$$

Asymptotisches Verhalten für große  $\hat{s}$

$$G \approx \frac{1}{9} e^{\sqrt{3}\hat{s}} = \frac{1}{9} e^{2\sqrt{3}k_u \rho \cdot s}$$

Definition der 1-dim Verstärkungslänge (power gain length):

$$L_G = \sqrt{3}\hat{s} = \frac{1}{2\sqrt{3}k_u \rho} = \frac{\lambda_u}{4\pi\sqrt{3}\rho}$$

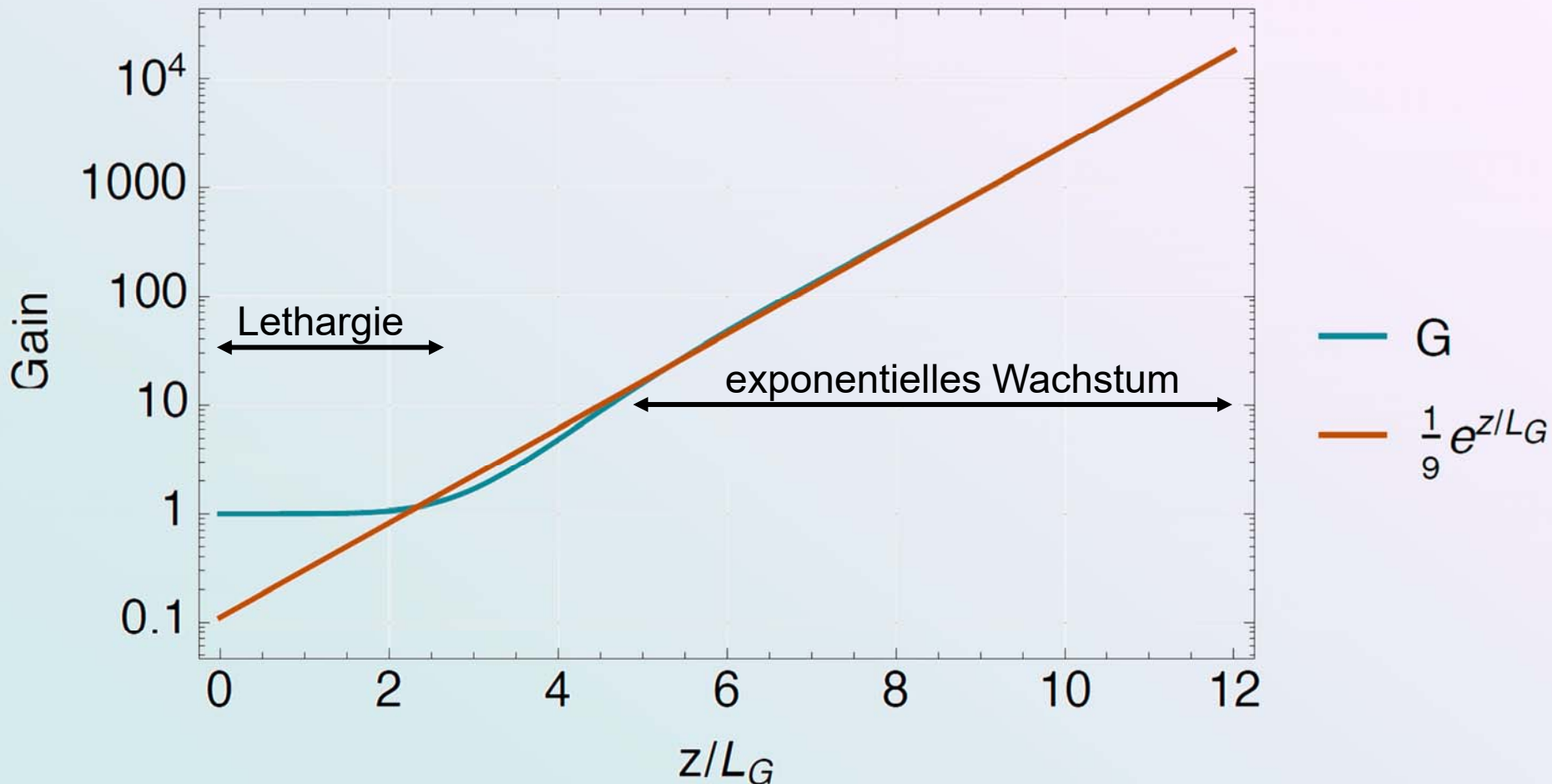
Verhalten für kleine  $s/L_G$  (Taylorentwicklung)  $\leftrightarrow$  „**Lethargie**“

$$G_{\text{leth}} = 1 + \frac{1}{1080} \left(\frac{s}{L_G}\right)^6 = 1 + \left(\frac{s}{3.2L_G}\right)^6$$

# Universelle Verstärkungskurve

$$G(\hat{s}) = \frac{|a|^2}{a_0^2} = \frac{1}{9} \left\{ 3 + 2 \cosh \chi + 4 \cos \left( \frac{\sqrt{3}}{2} \chi \right) \cosh \left( \frac{\chi}{2} \right) \right\}$$

$$\chi = \frac{s}{L_G}$$



# Sättigung

Gebiet exponentiellen Wachstums:

$$|a|^2 = |b|^2 = \frac{a_0^2}{9} e^{-z/L_g} < 1$$

→ Feldstärke kann nicht über

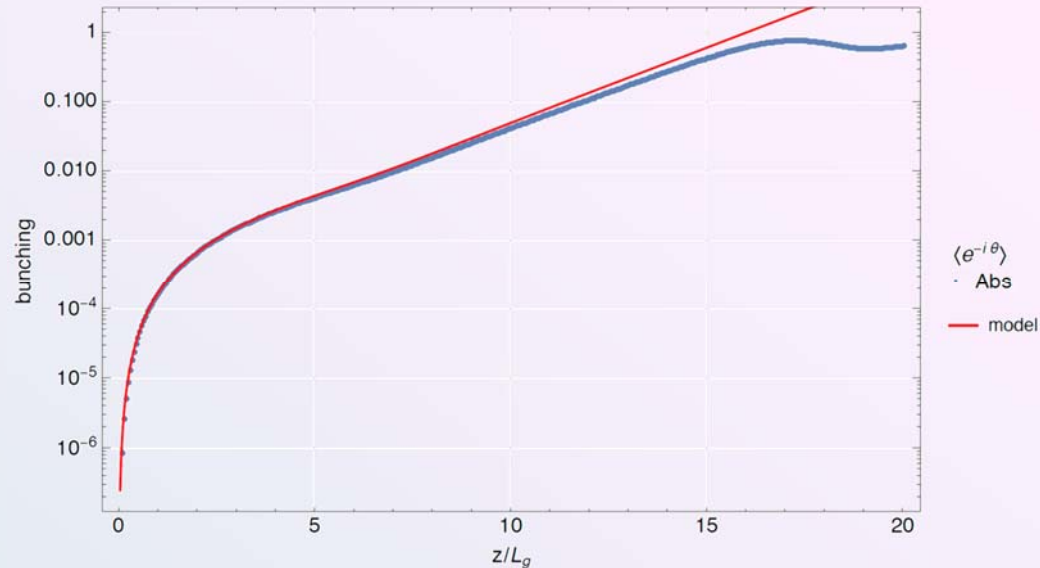
$|a| = 1$  anwachsen:

$$\tilde{E}_{\text{sat}} = \frac{2k_u \rho^2}{\kappa_1}$$

$$\rightarrow \mathcal{W}_{\text{sat}} = \frac{1}{2} \varepsilon_0 E^2 = 2\varepsilon_0 |\tilde{E}|^2 = \rho n_e \gamma_r mc^2 = \rho \mathcal{W}_{\text{beam}}$$

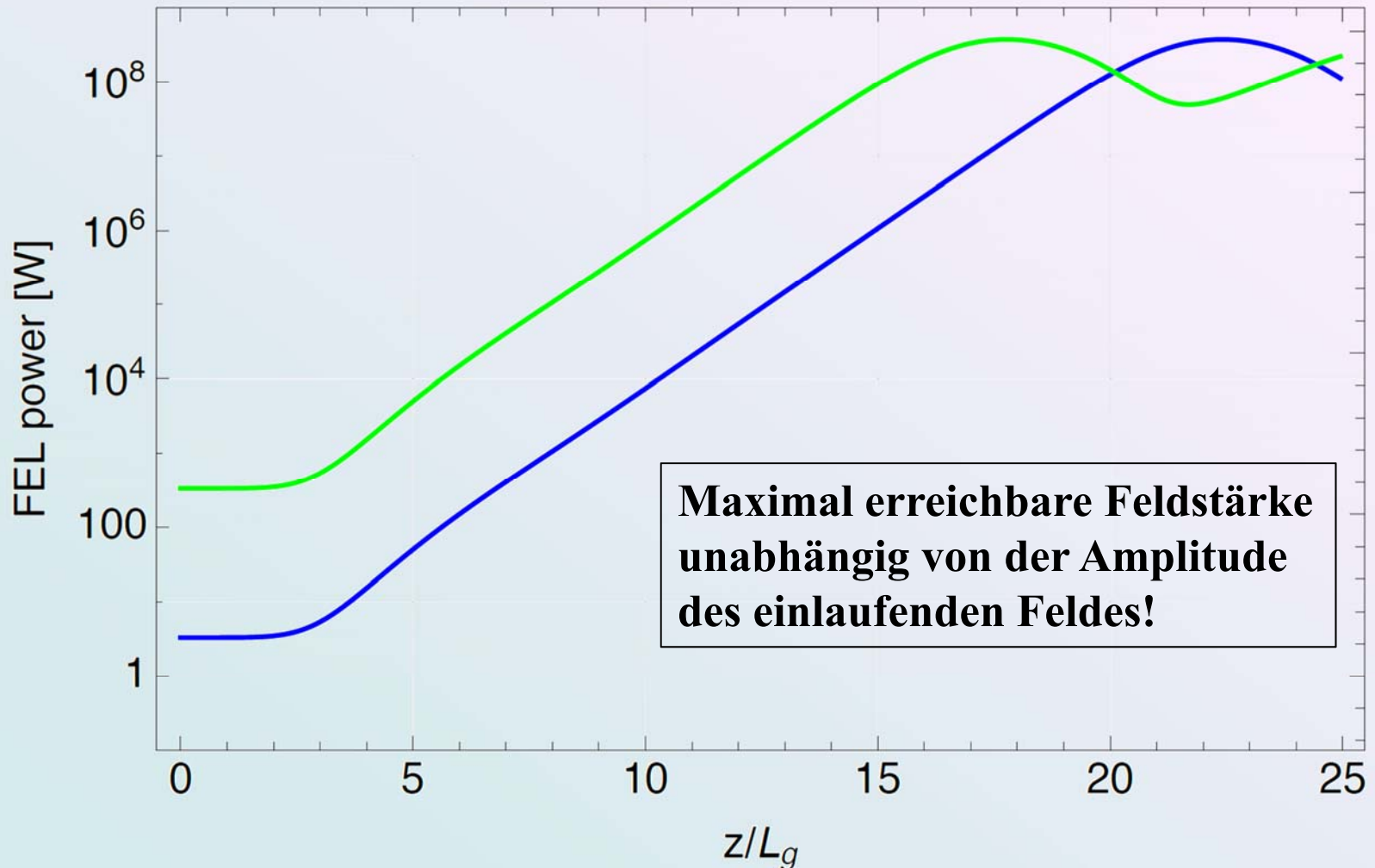
und mit  $P = \mathcal{W}cA = 2\pi\sigma^2 c\mathcal{W}$  sowie  $I_{\text{beam}} = ecAn_e$ ,  $\mathcal{W}_{\text{beam}} = en_e U_{\text{beam}}$

$$P_{\text{sat}} = \rho \cdot I_{\text{beam}} \cdot U_{\text{beam}}$$



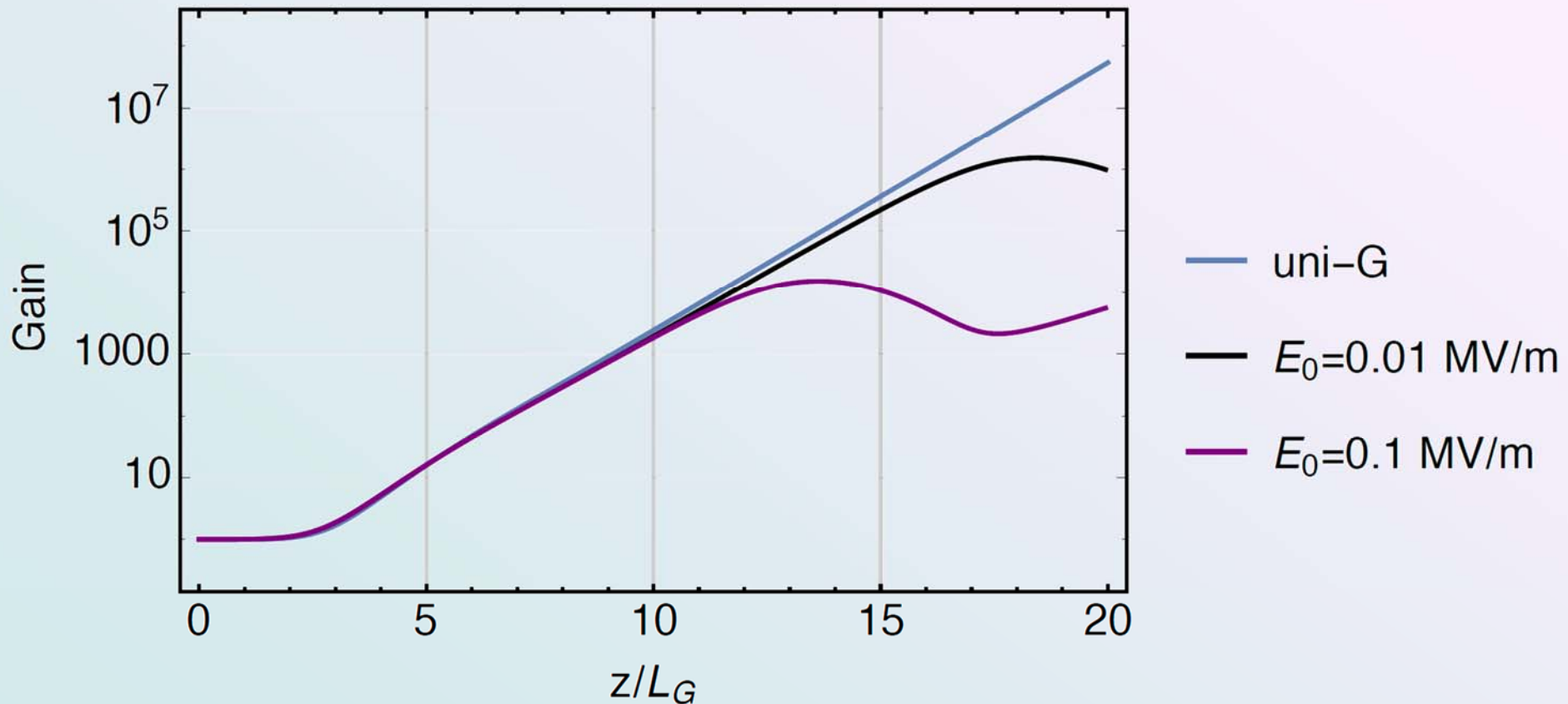
# Sättigung

—  $E_0=10^5$  V/m    —  $E_0=10^6$  V/m



# Sättigung

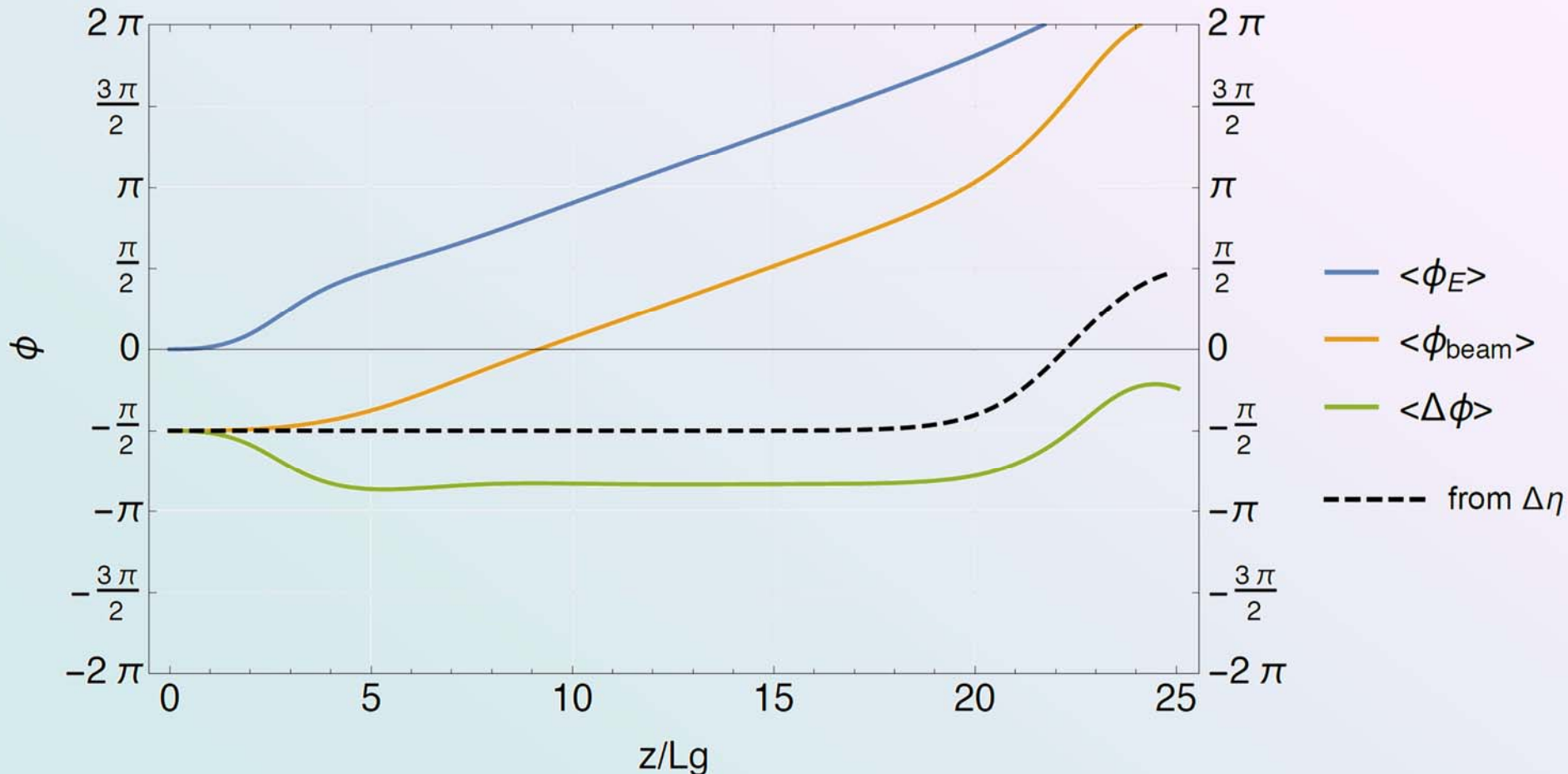
Maximal erreichbarer Verstärkungsfaktor abhängig von Amplitude des einlaufenden Feldes



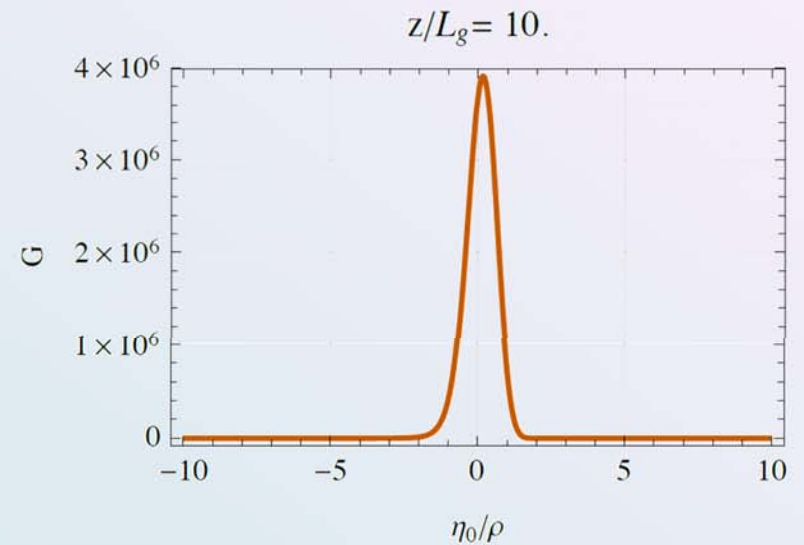
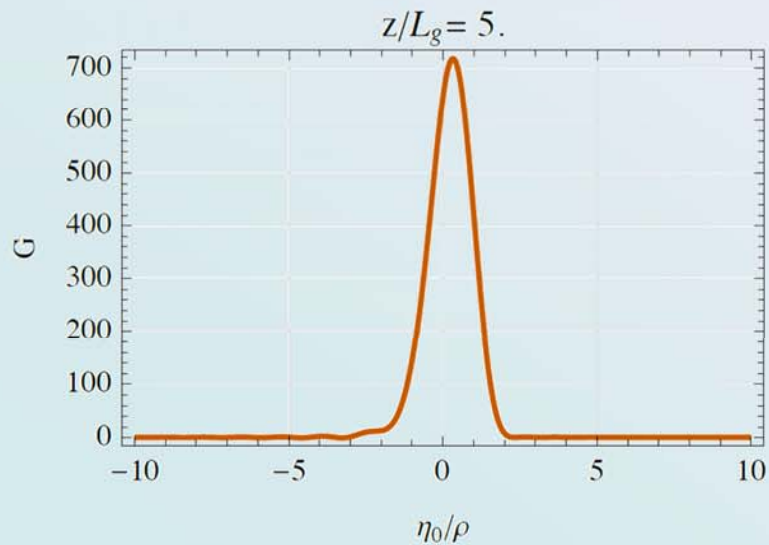
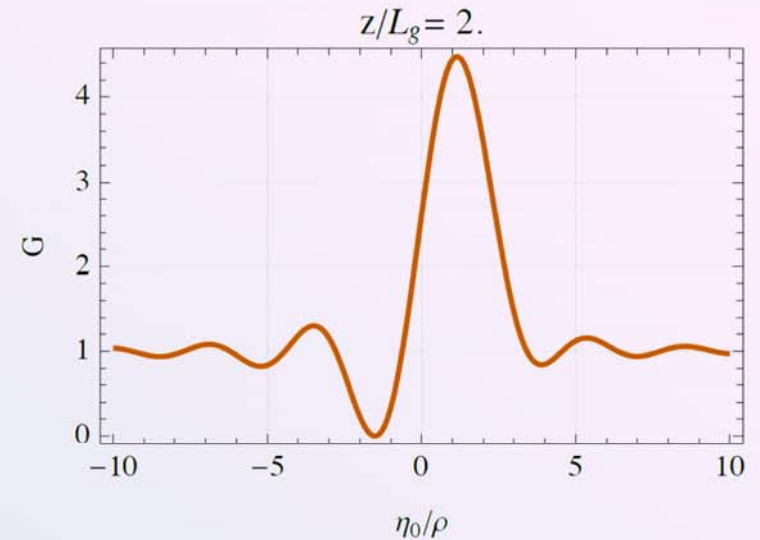
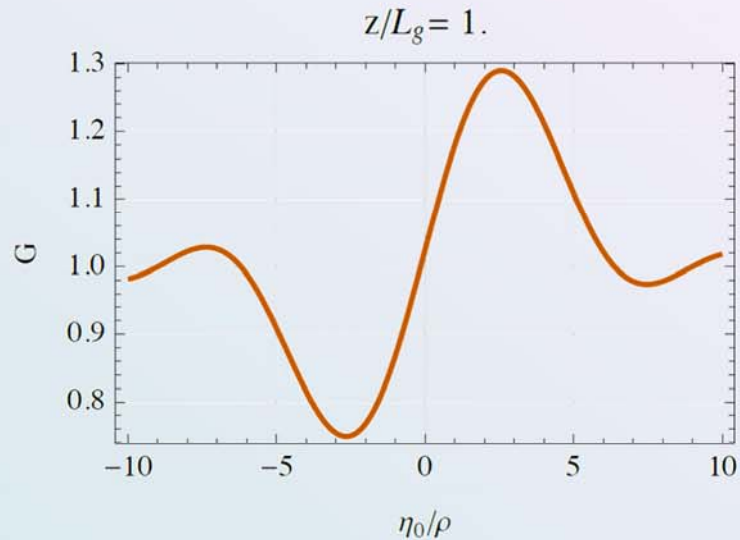


# Phasenverlauf

Im Lethargiegebiet stellt sich die benötigte Phasenverschiebung zwischen Strahl und Feld ein!



# Verstärkung und Bandbreite



# Kubische Differentialgleichung

## Fall 2: Anregung durch existierende Dichtemodulation

Anfangsbedingungen:

- Dichtemodulation  $\rightarrow b_0 = \left\langle e^{-i\theta_j} \right\rangle_0$  bei  $\lambda_m \approx \lambda_r$
- kein Energieoffset, aber -modulation!  $\rightarrow \eta_0 = 0, \rightarrow P_0 = ib' \Big|_0 = \hat{\eta}_0 b_0$
- Einlaufendes Strahlungsfeld  $\rightarrow a_0 = 0$

$$\Rightarrow C_1 = -i \frac{b_0}{3}, \quad C_2 = (-1)^{5/6} \frac{b_0}{3}, \quad C_3 = (-1)^{1/6} \frac{b_0}{3} \quad \text{für } \eta_0 = 0$$

**Feldenergie:**

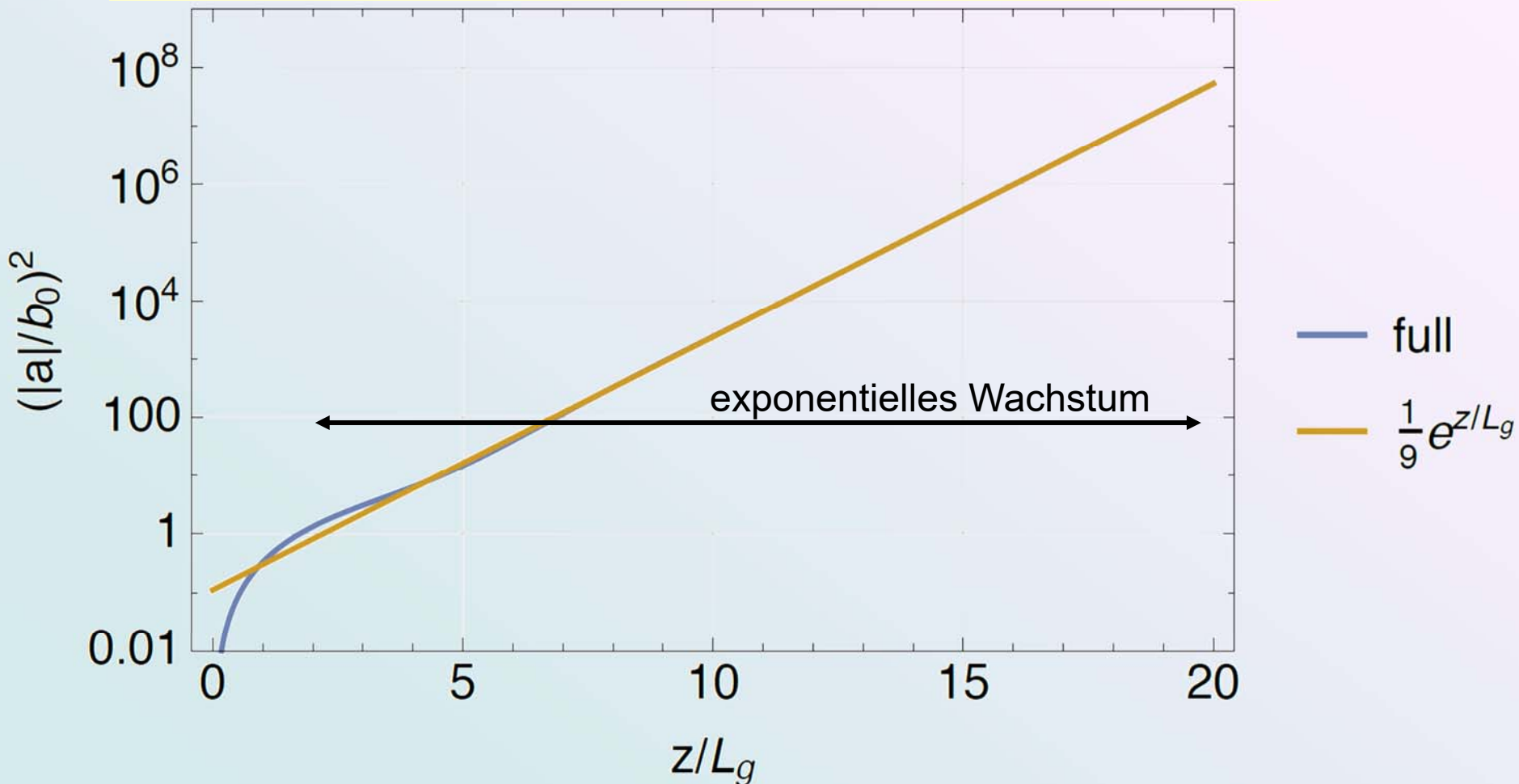
$$|a|^2 = \frac{2}{9} b_0^2 G(\chi), \quad \chi = \frac{s}{L_g}$$

**„Verstärkung“:**

$$G(\hat{s}) = \cosh \chi + \sqrt{3} \sin \left( \frac{\sqrt{3}}{2} \chi \right) \sinh \left( \frac{1}{2} \chi \right) - \cos \left( \frac{\sqrt{3}}{2} \chi \right) \cosh \left( \frac{1}{2} \chi \right)$$

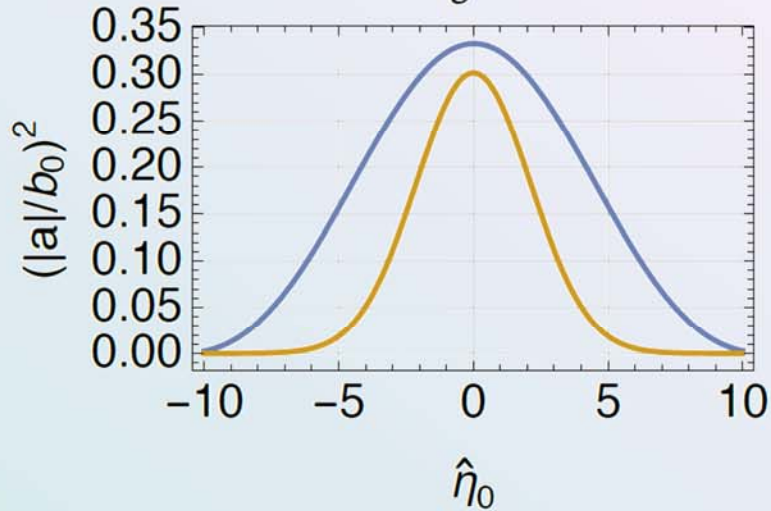
# Universelle Verstärkungskurve

$$G(\hat{s}) = \cosh \chi + \sqrt{3} \sin\left(\frac{\sqrt{3}}{2} \chi\right) \sinh\left(\frac{1}{2} \chi\right) - \cos\left(\frac{\sqrt{3}}{2} \chi\right) \cosh\left(\frac{1}{2} \chi\right) \quad \chi = \frac{s}{L_G}$$

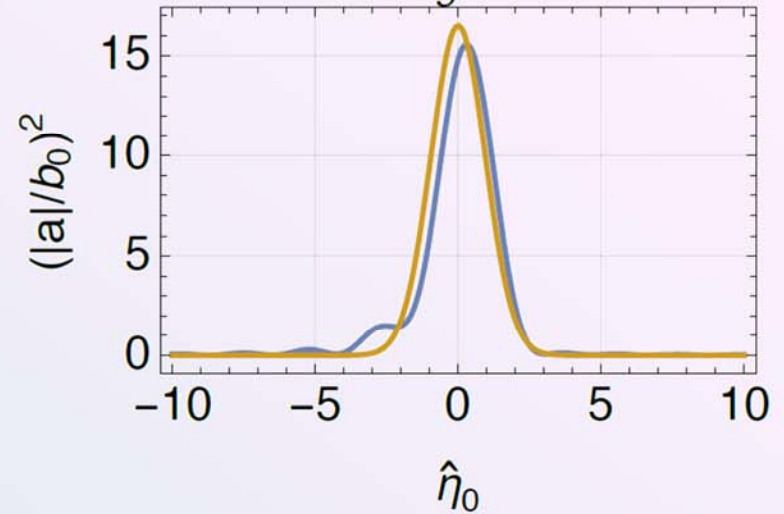


# Verstärkung und Bandbreite

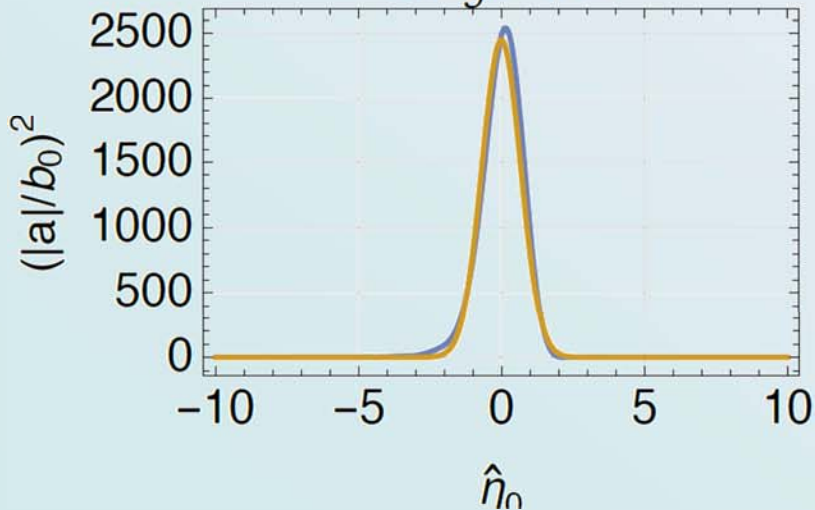
$z/L_g = 1.$



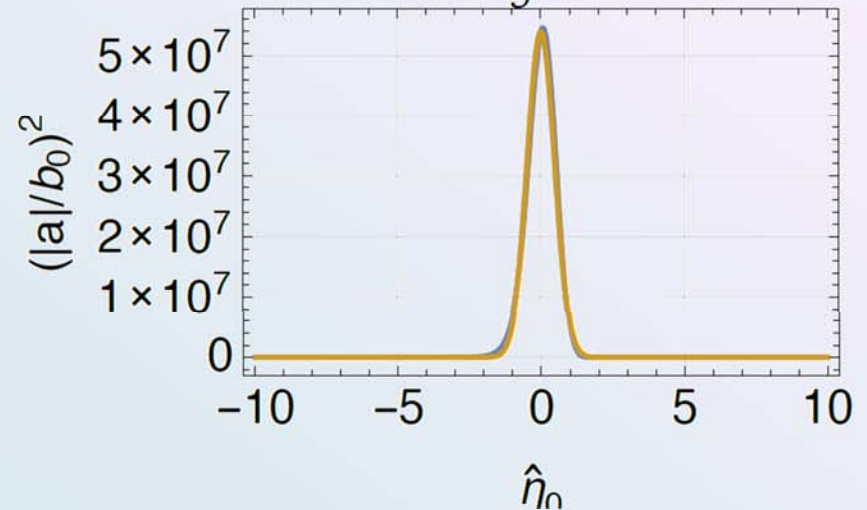
$z/L_g = 5.$



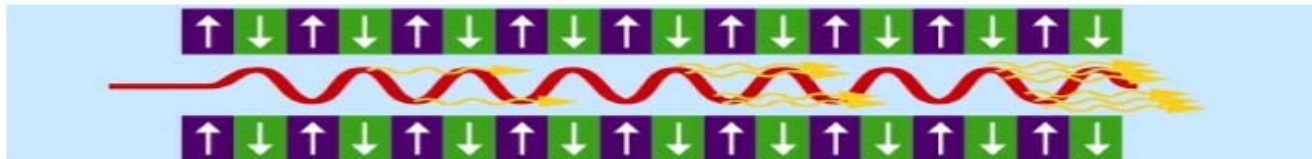
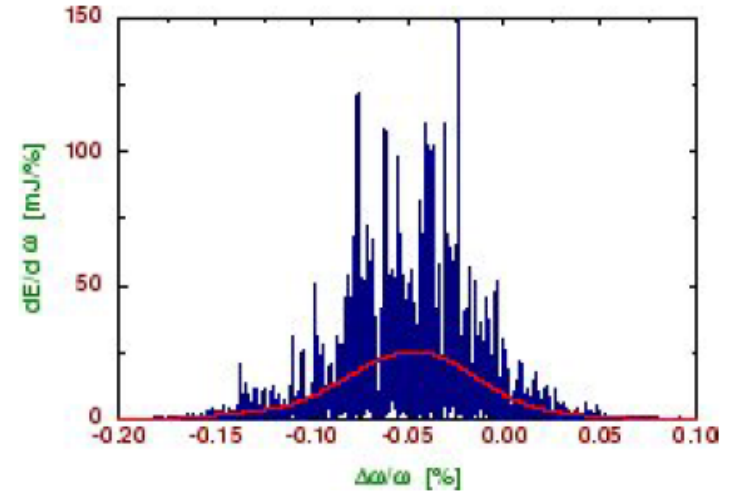
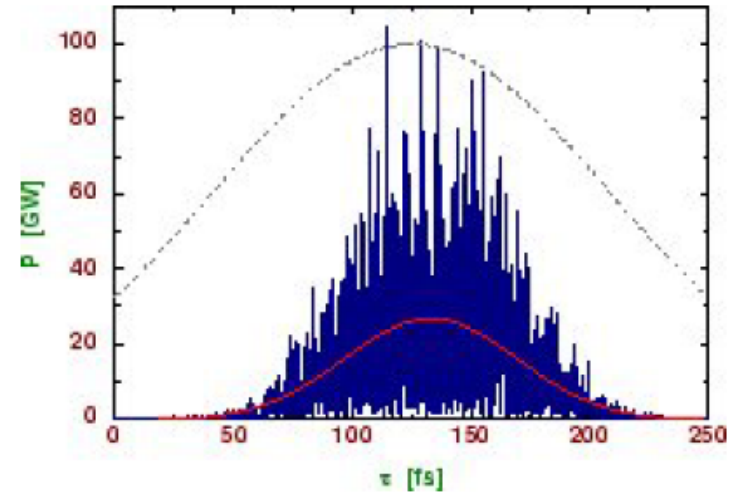
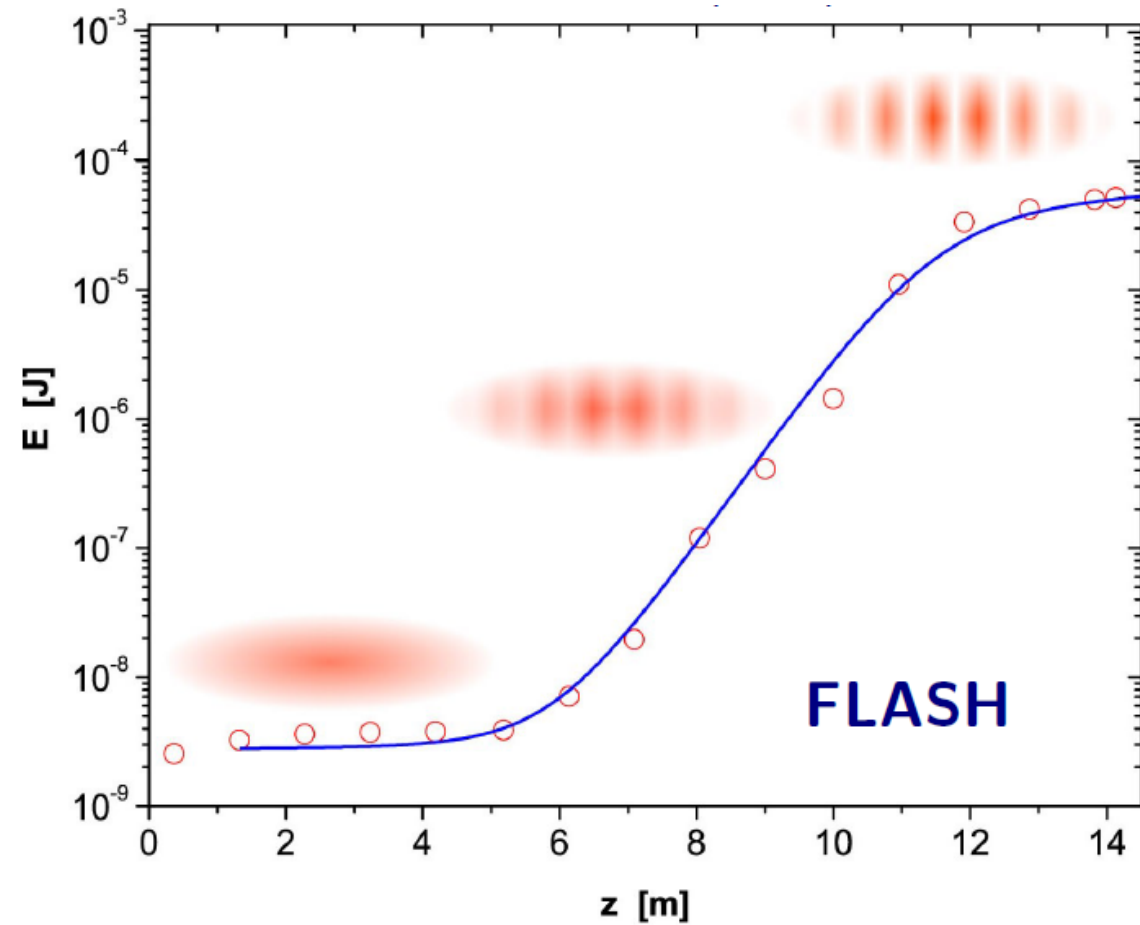
$z/L_g = 10.$



$z/L_g = 20$



# High-Gain SASE FEL



**Low temporal coherence!**